УЛК 629.786.2:614.876

РАДИАЦИОННЫЙ АСПЕКТ ДВУХ ВАРИАНТОВ НАКЛОНЕНИЯ ОРБИТЫ РОССИЙСКОЙ ОРБИТАЛЬНОЙ СЛУЖЕБНОЙ СТАНЦИИ

© 2023 г. В. Г. Митрикас*

Институт медико-биологических проблем РАН, Москва, Россия *vg mit@imbp.ru

Поступила в редакцию 06.04.2022 г. После доработки 15.04.2022 г. Принята к публикации 15.06.2022 г.

Рассмотрен вклад в эффективную дозу от космических излучений радиационных поясов Земли, галактических космических лучей и протонов солнечных протонных событий для космонавтов, находящихся в рабочем отсеке большого диаметра служебного модуля MKC. Показано, что для квазистационарных источников космических излучений изменение наклонения орбиты в 51.6° на 97.0° не приводит к существенным изменениям среднесуточной мощности эффективной дозы. При рассмотрении вклада в эффективную дозу от протонов солнечных вспышек дозовая нагрузка на космонавтов может увеличиваться в десять и более раз.

DOI: 10.31857/S0023420622700030, EDN: LUNCOZ

ВВЕДЕНИЕ

Среди профессионалов космической отрасли обсуждаются перспективы создания *Российской орбитальной служебной станции* (*POCC*). При этом рассматриваются два варианта наклонения орбиты: 51.6° и 97.0°. По поводу второго варианта в интервью журналу "Русский космос" Д.О. Рогозин заявил: "Конечно, такая орбита подразумевает более высокий уровень радиации, и это повлияет на длительность полета экспедиций" (https://www.roscosmos.ru/media/pdf/russianspace/rk2022-01-single.pdf).

Проверим насколько справедливо это утверждение.

МЕТОДИКА

Самая большая среднесуточная мощность эффективной дозы для MKC зарегистрирована в августе—сентябре 2020 г. Средняя высота орбиты MKC в это время равнялась $H_{\rm cp}=424.0\pm1.6$ км, среднее значение A_p -индекса — 10.1 ± 6.7 . Для этого периода были выполнены расчеты дозовых нагрузок на космонавтов при их нахождении в рабочем отсеке большого диаметра (РОБД) служебного модуля (СМ) MKC при полете станции по орбите с наклонением 51.6° и 97.0° .

Согласно действующим нормативам обеспечения радиационной безопасности (РБ) [1] для контроля уровней радиационного воздействия на космонавтов необходимо использовать величину

эффективной дозы, которая согласно наземным нормам РБ [2] определяется как:

$$E = \sum_{T} W_T H_T, \tag{1}$$

где H_T – эквивалентная доза в органе или ткани T,

$$H_T = \frac{1}{N} \sum_{i=1}^{N} H(r_i);$$
 (2)

N — количество точек в органе, для которого проводится расчет; W_T — взвешивающий коэффициент для органа или ткани T (табл. 1).

Согласно [3] поглощенная доза в точке r_i органа T вычисляется по формуле:

$$D_T(r_i) = \int_0^\infty D(\xi)\omega_T(\xi, r_i) \ d\xi, \tag{3}$$

где $D(\xi)$ — удельная доза на глубине ξ ; $\omega_T(\xi, r_i)$ — функция экранированности точки r_i в органе T:

$$\omega_T(\xi, r_i) = \frac{1}{4\pi\Delta\xi} \int_{4\pi} \eta(r_i, \Omega) \ d\Omega, \tag{4}$$

где $\eta(r_i, \Omega)$ — единичная функция на отрезке от ξ до $\xi + \Delta \xi$.

Под функцией экранированности выбранной точки внутри рассматриваемого объекта понимается функция плотности вероятности встретить в любом направлении из рассматриваемой точки толщину защиты в интервале от X до X + dX. Расчет функций экранированности проводится в со-

Таблица 1. Количество точек в органах и тканях (N) и взвешивающие коэффициенты (W_T) для определения эффективной дозы

N⁰	Орган	W_T	N
1	Гонады	0.20	11
2	Костный мозг (красный)	0.12	14
3	Толстый кишечник	0.12	10
4	Легкие	0.12	36
5	Желудок	0.12	15
6	Мочевой пузырь	0.05	7
7	Грудная железа	0.05	2
8	Печень	0.05	19
9	Пищевод	0.05	3
10	Щитовая железа	0.05	3
11	Кожа	0.01	2
12	Клетки костных поверхностей	0.01	34
13	Хрусталик глаза	0.007	2
14	Центральная нервная система	0.007	3
15	Сердце	0.007	7
16	Левая почка	0.007	7
17	Правая почка	0.007	7
18	Селезенка	0.007	6
19	Прямая кишка	0.007	7

ответствии с государственным стандартом [4]. В качестве модели тела человека (фантома) используются результаты работы [5, 6], а в качестве модели MKC результаты работы [7]. Входящая в равенстве (1) эквивалентная доза H связана с поглощенной дозой D в выражении (2) простым соотношением:

$$H = D \cdot QF,\tag{5}$$

где QF — фактор качества.

В настоящей работе использована следующая зависимость коэффициента качества от линейной передачи энергии заряженных частиц в веществе S(E) в МэВ см $^{-1}$:

1.0,
$$S(E) \le 35$$
,
0.02858 $S(E)$ 35 $\le S(E) \le 70$,
7.31 · 10⁻² $S(E)$, $70 \le S(E) \le 230$,
 $QT = 4.9 \cdot 10^{-2} S(E)^{0.848}$, $230 \le S(E) \le 530$,
 $-42.53 + 19.28 \ln S(E)$, $530 \le S(E) \le 1750$,
 20.0 , $1750 \le S(E)$.

Подставим выражения (3) и (5) в равенство (1) и, используя линейность выражения (1), поменя-

ем порядок интегрирования и суммирования. В итоге выразим эффективную дозу как:

$$E = \int_{0}^{\infty} H_{9\Phi}(\xi) \omega_{9\Phi}(\xi, r_i) d\xi, \qquad (7)$$

где $\omega_{9\phi}(\xi, r_i)$ — функция экранированности для расчета эффективной дозы.

$$\omega_{\mathfrak{s}_{\Phi}}(\xi, r_i) = \sum_{T} W_T \omega_T(\xi, r_i). \tag{8}$$

При таком подходе теряется определенность конкретной точки, но исключается необходимость расчета радиационного воздействия на каждый орган. Проведены расчеты функций экранированности различных органов для четырех пространственных ориентаций фантома: вперед—назад—влево—вправо. Для каждой пространственной ориентации использовано различное количество точек в соответствии с табл. 1. При этом в расчетах функций экранированности красного костного мозга учитывалось его процентное содержание в различных точках.

Определялись парциальные вклады в эффективную дозу от электронов и протонов радиационных поясов Земли (РПЗе и РПЗр) [4, 8] и от галактических космических лучей (ГКЛ) [9]. Солнечных протонных событий (СПС) в рассматриваемый период времени не зафиксировано. В качестве моделей потоков частиц РПЗ использованы результаты работы [10], в которой проведена модификация стандартов [11, 12]. В качестве модельного описания спектральных распределений заряженных частиц ГКЛ используется представление для отдельных групп ГКЛ из работы [13]. При этом потоки протонов с энергиями выше 100 МэВ нормировались на экспериментальные значения, полученный на спутниках GOES (англ. Geostationary Operational Environmental Satellite, геостационарный эксплуатационный спутник наблюдения за окружающей средой) [http://www.swpc.noaa.gov/]. Учет геомагнитных возмущений проводился по данным [http:// wdc.kugi.kvoto-u.ac.jp/dst realtime/].

РЕЗУЛЬТАТЫ И ОБСУЖДЕНИЕ

Результаты расчетов поглощенной и эффективной доз представлены в табл. 2.

Из анализа результатов табл. 2 следует, что мощность эффективной дозы в мегазиверт в сутки мало меняется при переходе от наклонения в 51.6° к наклонению орбиты в 97.0° , всего на 1-2%. При этом мощность поглощенной дозы в микрогрей в сутки меняется на 15-17%. Объяснение такому различию можно получить, рассматривая на рис. 1 трассы полета *МКС* для обоих вариантов наклонения орбиты.

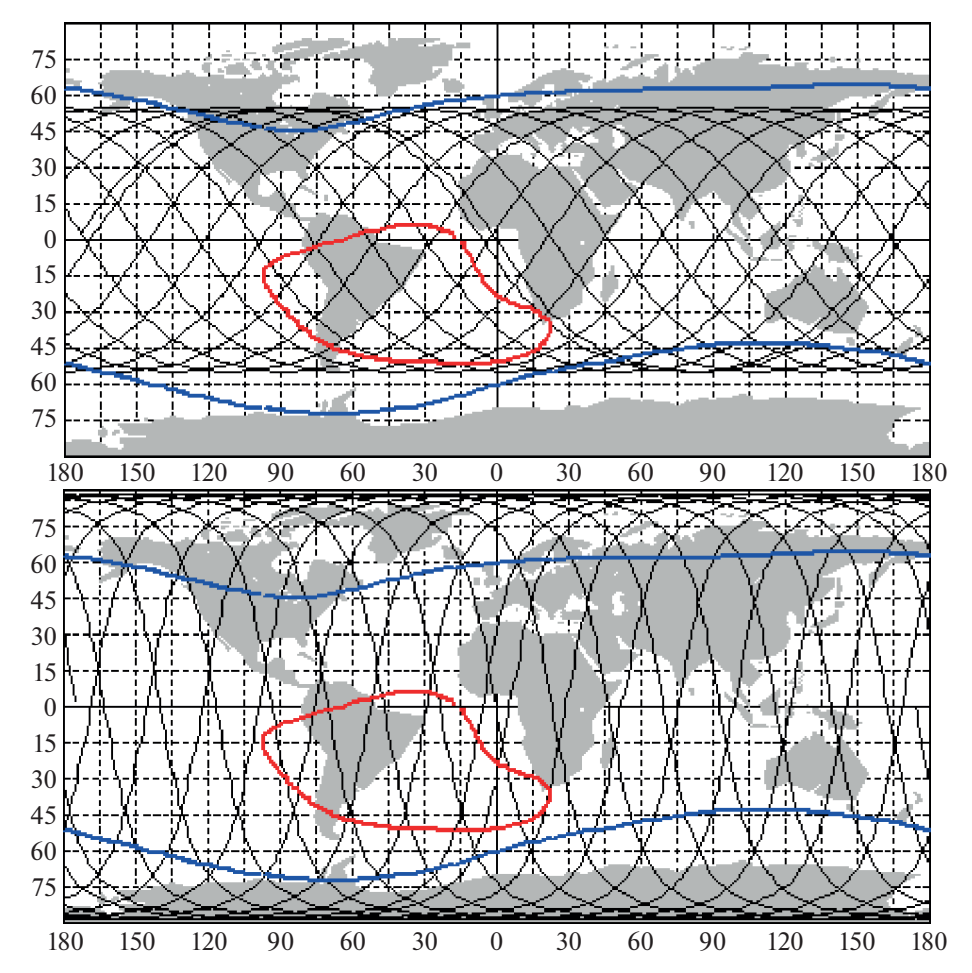


Рис. 1. Трассы полета СМ *МКС* для наклонения орбиты 51.6° (сверху) и для наклонения 97.0° (снизу). Кривая в центре рисунков обозначает изолинию постоянной магнитной напряженности B=0.24 Гс, которая примерно соответствует границам ЮАА внутреннего РПЗ. Кривые в верхней и нижней части рисунков обозначают изолинии L=3.0, которые примерно соответствуют границам внешнего электронного РПЗ.

Из рассмотрения рис. 1 следует, что при наклонении орбиты в 51.6° суммарное время нахождения СМ *МКС* в зоне Южно-Атлантической аномалии (ЮАА) составляет примерно 150 мин/сут, а при наклонении орбиты в 97.0° около 100 мин/сут. В зоне ЮАА формируется вклад от протонов РПЗ, который практически пропорционален времени нахождения в ней. Вклад в эффективную дозу от ГКЛ формируется, в основном, в области полярных шапок. Этот вклад для мощности по-

Таблица 2. Парциальные вклады в дозу, полученную космонавтами при их нахождении в РОБД СМ МКС

	Наклонение орбиты 51.6°			Наклонение орбиты 97.0°				
	Поглощенная доза, мкГр сут $^{-1}$							
2020 г.	РП3е	РП3р	ГКЛ	Σ	РП3е	РП3р	ГКЛ	Σ
Август	0.6	193.2	107.5	301.4	1.0	130.0	126.7	257.8
Сентябрь	0.7	187.0	107.6	295.3	1.1	128.8	127.3	257.2
	Эффективная доза, мкЗв сут ⁻¹							
2020 г.	РП3е	РП3р	ГКЛ	Σ	РП3е	РП3р	ГКЛ	Σ
Август	0.6	237.5	503.8	742.0	1.0	159.9	563.9	724.8
Сентябрь	0.7	229.3	503.2	733.1	1.1	158.0	564.6	723.6

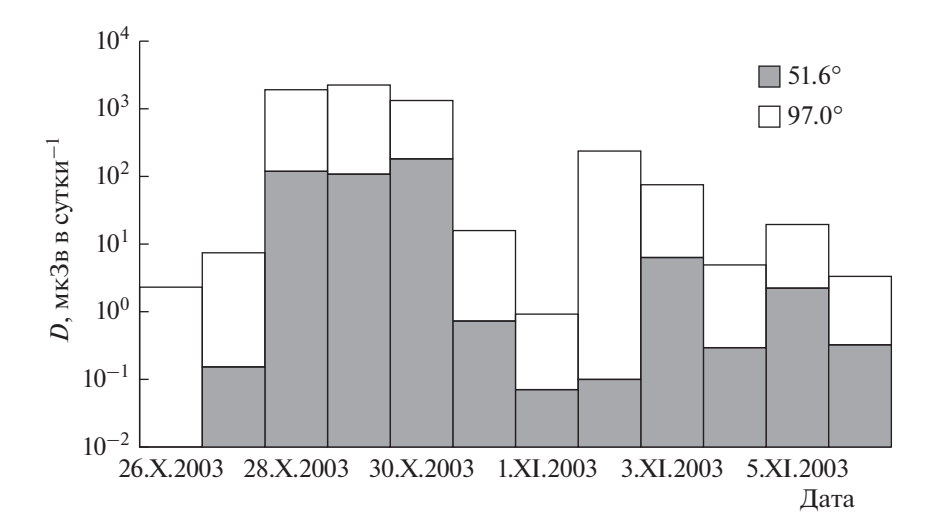


Рис. 2. Динамика эффективной дозы для космонавта в РОБД СМ *МКС*. Затемненная гистограмма для наклонения орбиты 51.6° , прозрачная гистограмм для наклонения орбиты 97.0° .

глощенной дозы в микрогрей в сутки возрастает на ~12%, но этого возрастания недостаточно для компенсации снижения вклада в поглощенную дозу от протонов РПЗ. Это же увеличение почти полностью компенсирует снижение вклада протонов РПЗ в мощность эффективной дозы в мегазиверт в сутки. Противоположная картина наблюдается для электронов. Для орбиты с наклонением в 97.0° становится более существенным вклад от электронов внешнего электронного РПЗ, но по абсолютной величине он остается очень малым.

Таблица 3. Динамика вкладов в эффективную дозу (в мк3в сут $^{-1}$) космонавтов при их нахождении в РОБД СМ *МКС* от серии СПС в период 26.X-6.XI.2003

	Наклонение орбиты 51.6°	Наклонение орбиты 97.0°
26.X	_	2.2
27.X	0.2	7.6
28.X	115.5	1904.5
29.X	103.7	2213.6
30.X	177.8	1273.9
31.X	0.7	15.9
1.XI	0.1	0.9
2.XI	0.1	243.9
3.XI	6.4	74.8
4.XI	0.3	4.9
5.XI	2.4	18.6
6.XI	0.3	3.3
Σ	407.5	5761.7

Как отмечено в работе [14] "в настоящее время не существует единой аналитической модели для описания поведения электронов внешнего радиационного пояса Земли, поэтому для конкретного события на основе предлагаемых механизмов ускорения и транспортировки невозможно предсказать ожидаемую динамику потоков электронов". Возможно, что использование модели электронов согласно документу [12] не всегда корректно, особенно при возмущениях геомагнитной обстановки. Однако, как отмечено выше, в рассматриваемый период времени геомагнитная обстановка была достаточно спокойной, значение A_p -индекса равнялось 10.1 ± 6.7 .

Иная картина складывается для СПС. Самое большое СПС за весь период эксплуатации MKC произошло 28.X.2003 в серии вспышек за период 26.X—6.XI.2003. Поток протонов с энергиями больше 30 МэВ за все событие от 28.X.2003 составил $3.1 \cdot 10^9$ протон см⁻².

Эффективная доза для космонавта, находящегося в РОБД от всех протонных вспышек рассматриваемого периода при наклонении орбиты в 51.6° составила 407.5 мкЗв. Для наклонения орбиты в 97.0° эффективная доза выросла примерно в 14 раз и составила 5761.7 мкЗв. Необходимо отметить, что даже для СПС от 4.XI.2003 (поток протонов с энергиями больше 30 МэВ составил 3.1 · 10⁷ протон см⁻²) для орбиты 51.6° эффективная доза составила всего 3 мкЗв, но для орбиты 97.0° такая доза возрастает до 27 мкЗв. Динамика эффективной дозы для обоих вариантов наклонения орбиты представлена на рис. 2.

Конкретные значения эффективной дозы представлены в табл. 2. Из рассмотрения результатов табл. 3 следует, что даже для крупных СПС

Таблица 4. Парциальные вклады в эквивалентную дозу в мкЗв на кожу космонавтов при осуществлении ВКД из MKC на орбите с наклонением 51.6° и с наклонением 97.0°

	Наклонение орбиты 51.6°	Наклонение орбиты 97.0°
РПЗе	103.2	131.1
РП3р	190.9	158.5
ГКЛ	27.2	164.1
Σ	321.3	453.7

установленные нормативы обеспечения радиационной безопасности [1] не будут превышены.

При этом необходимо отметить, что в малых модулях MKC толщина защиты близка к 1 г см $^{-2}$. Это означает, что эффективная доза для космонавтов, находящихся в малых модулях, будет существенно больше, чем для космонавтов, находящихся в РОБД. В работе [15] отмечается, что за толщиной защиты 1 г см $^{-2}$ алюминия дополнительный радиационный риск составляет 55% от демографического риска. При увеличении толщины защиты до 20 г см $^{-2}$ радиационный риск снижается до 14%. Из этого следует, что на POCC необходимо предусматривать радиационное убежище с толщиной защиты ~ 20 г см $^{-2}$.

Отдельного рассмотрения требует оценка радиационной нагрузки на космонавтов при осуществлении выходов в открытый космос и выполнении внекорабельной деятельности (ВКД). В качестве примера был рассмотрен один из выходов за 2014 г. Во время этого выхода средняя высота орбиты составляла 424.7 км, значение A_p -индекса равнялось 5. При осуществлении ВКД основное внимание от эффективной дозы переходит в оценке эквивалентной дозы на кожу (КЖ) [1]. Эффективная доза практически совпадает с дозой на кроветворную систему, средняя глубина залегания которой составляет 5 см. Для такой глубины практически несущественен вклад в дозу от электронов. В табл. 4 представлены результаты расчетов паршиальных вкладов в эквивалентную дозу на кожу от источников космических излучений при проведении ВКД из МКС на орбите с наклонением 51.6° и с наклонением 97.0° .

Из рассмотрения результатов табл. 4 следует, что доза от излучений ГКЛ при наклонении орбиты 97.0° возрастает на 27% доза от протонов РПЗ уменьшается на 17%, доза от электронов РПЗ возрастает почти в шесть раз. Особое внимание при проведении ВКД необходимо обращать на состояние магнитосферы. После магнитных бурь могут происходить высыпания электронов внешнего РПЗ, что может приводить к существенному возрастанию дозовой нагрузки на космонавтов. Так,

в работе [16] Ц. Дачев (*англ*. Dachev T.P.) отмечает, что даже на орбите MKC при наклонении орбиты в 51.6° средняя мощность поглощенной дозы за защитой 0.3 г см⁻² от электронов при спокойной магнитосфере составляет 80—90 мкГр сут⁻¹. В периоды магнитных возмущений, как например 20—22 марта 2015 г. средняя мощность поглощенной дозы достигала значений 2700 мкГр сут⁻¹.

выводы

В периоды минимума солнечной активности, когда на Солнце нет пятен и, соответственно, нет СПС, радиационная обстановка на POCC будет практически такой же, как на MKC.

В периоды максимума солнечной активности необходимо предусматривать в составе *POCC* хорошо защищенный отсек, который должен служить космонавтам радиационным убежищем.

При обеспечении радиационной безопасности космонавтов на *POCC* существенно возрастает роль прогноза как вспышечной активности Солнца, так и магнитосферных возмущений.

Работа выполнена в рамках плана фундаментальных исследований ГНЦ РФ — ИМБП РАН по теме № 65.2.

СПИСОК ЛИТЕРАТУРЫ

- 1. Ограничение облучения космонавтов при околоземных космических полетах (ООКОКП-2021). Методические рекомендации МР ФМБА 17.01-2021 / ГК "Роскосмос". М.: Науч. кн., 2021. 44 с.
- Нормы радиационной безопасности (НРБ-99/2009).
 Утв. гл. санитарным врачом РФ Г.Г. Онищенко 07.07.2009.
- 3. Методические указания. Безопасность радиационная экипажа космического аппарата в космическом полете. Методика расчета поглощенной и эквивалентной доз от протонов космических лучей за защитой. М.: Изд. стандартов, 1986. С. 8 РД-50 25645.208.
- 4. ГОСТ 25645.204. Безопасность радиационная экипажа космического аппарата в космическом полете. Методика расчета экранированности точек внутри фантома. М.: Изд. стандартов, 1984. 30 с.
- 5. ГОСТ 25645.203. Безопасность радиационная экипажа космического аппарата в космическом полете. Модель тела человека для расчета тканевой дозы. М.: 1984. 21 с.
- 6. Бондаренко В.А., Митрикас В.Г. Модель геометрического фантома человека для расчета тканевых доз в служебном модуле Международной космической станции // Авиакосм. и эколог. медицина. 2007. Т. 39. № 1. С. 34—39.
- 7. *Митрикас В.Г.* Модель защищенности обитаемых отсеков служебного модуля международной космической станции для оценки радиационной опасности // Авиакосм. и эколог. медицина. 2006. Т. 38. № 3. С. 41—47.

- 8. Безопасность радиационная экипажа космического аппарата в космическом полете. Метод расчета распределения поглощенной и эквивалентной доз космических излучений по толщине материалов на внешней поверхности космического аппарата на орбитах, проходящих через ЕРПЗ. М.: 1991. С. 9 РД 50-25645.216.
- Методические указания. Безопасность радиационная экипажа космического аппарата в космическом полете. Методика расчета поглощенной и эквивалентной дозы от многозарядных ионов космических лучей. М.: 1986. С. 9 РД-50 25645.208.
- 10. *Митрикас В.Г.* Модель радиационных поясов Земли для оценки радиационной опасности на орбите ОПС "Мир" // Косм. исслед. 1999. Т. 37. № 5. С. 1–5.
- 11. ГОСТ 25645.138. Пояса Земли радиационные естественные. Пространственно-энергетические характеристики потоков протонов. М.: Изд. стандартов. 1986. С. 50
- 12. ГОСТ 25645.139. Пояса Земли радиационные естественные. Пространственно-энергетические ха-

- рактеристики потока электронов. М.: Изд. стандартов. 1986. С. 163
- 13. Ковалев Е.Е., Коломенский А.В., Муратова И.А., Петров В.М. Модельные описания дифференциальных спектров галактических космических лучей // Изв. АН СССР. Сер. физ. 1978. Т. 42. № 5. С. 923—926.
- 14. *Морозова Е.И., Безродных И.П., Семенов В.Т.* Радиационные факторы риска для космических аппаратов // Вопросы электромеханики. 2009. Т. 112. С. 35—40.
- 15. *Шафиркин А.В.* Изменение парадигмы опасности космических излучений при осуществлении дальних замагнитосферных полетов к Луне и Марсу // Авиакосм. и эколог. медицина. 2020. Т. 54. № 1. С. 5–15.
- 16. *Dachev T.P.* Relativistic electron precipitation bands in the outside radiation environment of the international space station // J. Atmospheric and Solar-Terrestrial Physics. 2017. P. 177. P. 247–256. https://doi.org/10.1016/j.jastp.2017.11.008